

Diagnostika a zkušebnictví

Technická diagnostika

Diagnostika izolačních systémů elektrických strojů

Izolační systém → z hlediska spolehlivosti je nejslabším místem

Spolehlivost → je pravděpodobnost, že v daném časovém úseku a za daných podmínek zařízení pracuje stanoveným způsobem

Na volbu diagnostické metody má vliv:

- nároky na přerušování provozu
- bezpečnost metody s ohledem na ohrožení stroje
(nedestruktivní, destruktivní)
- výpovědischopnost metody
(snaha o určení zbytkové doby života stroje)

Podmínky při diagnostických měřeních

Před vlastním měřením:

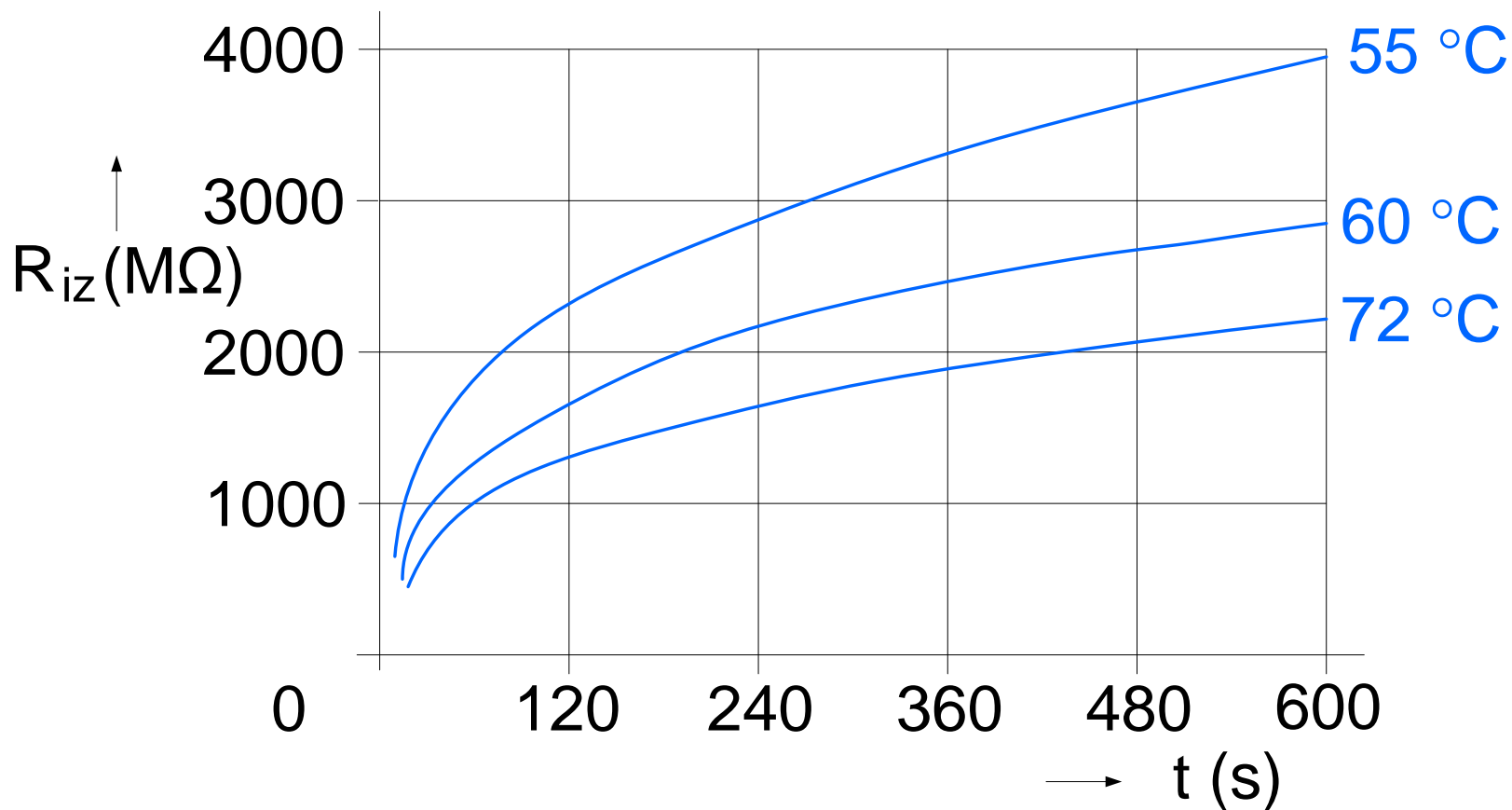
Předkondicionování - odstranění minulých vlivů

Kondicionování - vystavení vzorku působení okolního prostředí

Vlastní zkušební podmínky

- 20 °C; 101,3 kPa; r.v. 65 %

Teplota vinutí při měření



Přepočet výsledků na referenční teplotu je problematický

Měří se při teplotě 25 ± 5 °C

Existuje množství diagnostických metod

Ty jsou užívány pro posouzení izolačních systémů převážně pro

- a) Elektrické stroje točivé (motory, generátory)
- b) Elektrické stroje netočivé (transformátory, tlumivky)
- c) Průchodkové izolátory
- d) Izolační oleje

Některé metody jsou společné pro všechny systémy.

a) Statorová izolace generátorů

Namáhání je: Elektrické, mechanické, tepelné i chemické.

Diagnostika se provádí:

- před uvedením do provozu (výchozí údaje)
- po půl roce provozu (asi 3000 hodin probíhá dotvrzování)
- po 2 až 3 letech (interval oprav)

Měření je třeba opakovat vždy při podobných podmínkách.⁵

Izolační soustavy

- termoplastická (slídová páska spojená asfaltem + nažehlená mikafóliová trubka)
- reaktoplastická (páska Relanex, pojivem je umělá pryskyřice)

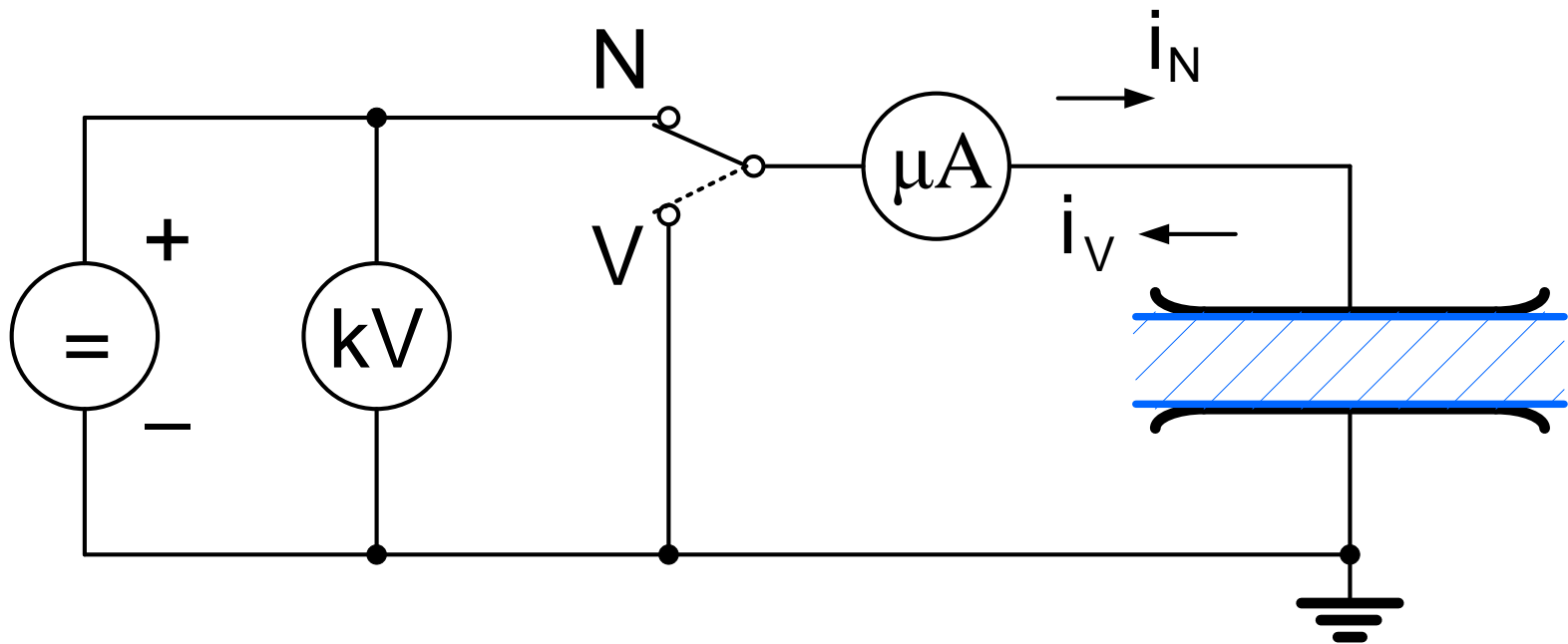
Chlazení generátorů - vodou nebo vodíkem

Před měřením se voda musí vypustit a chladicí okruh zbavit vlhkosti. Provádí se stlačeným vzduchem, příp. propláchnutím lihovou směsí. Sušení trvá 10 hodin i více.

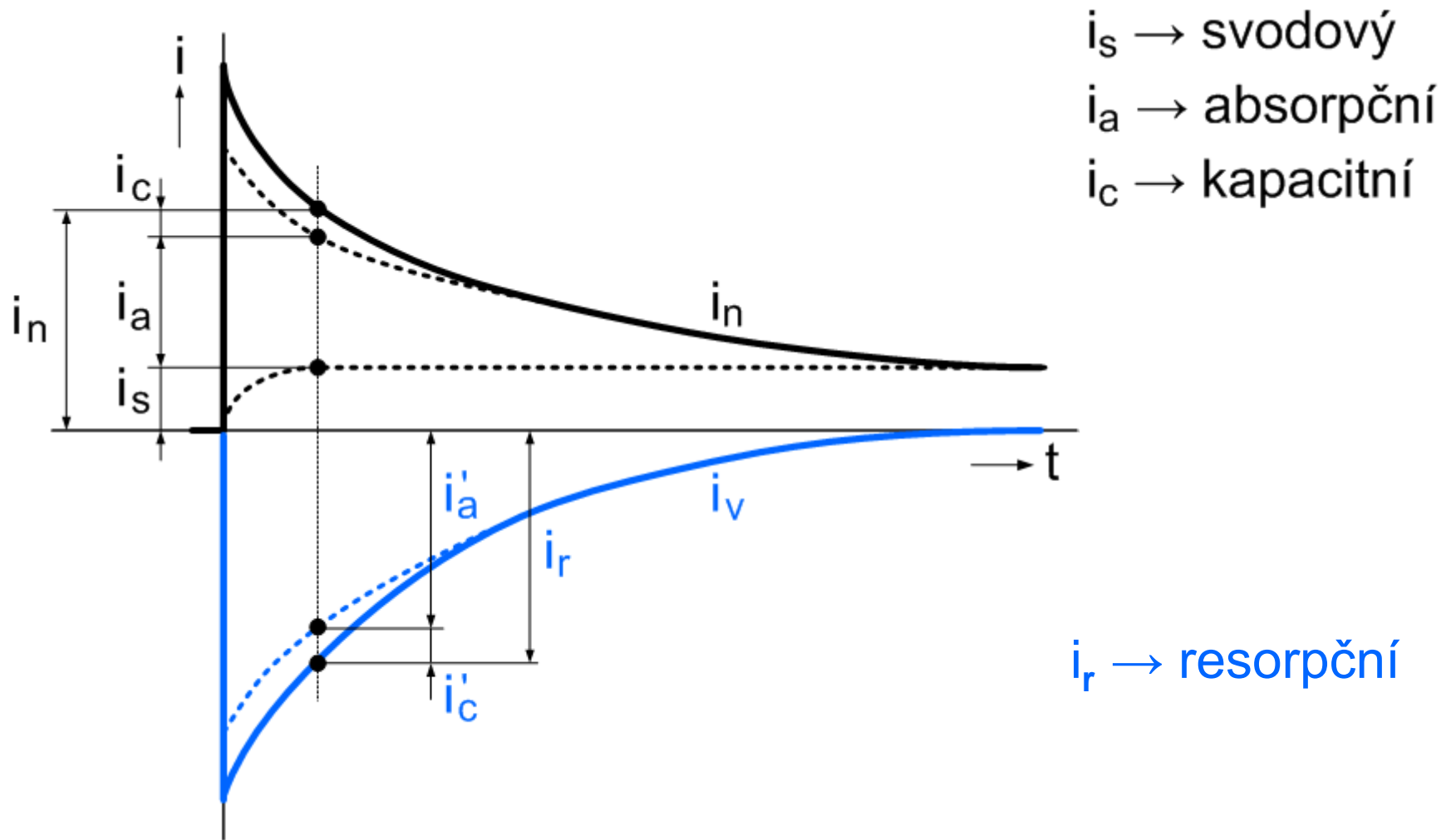
Proudové charakteristiky

(využití dielektrické absorpce)

$i = f(U, t, \text{stav izolace})$



Proudy při nabíjení a vybíjení izolace

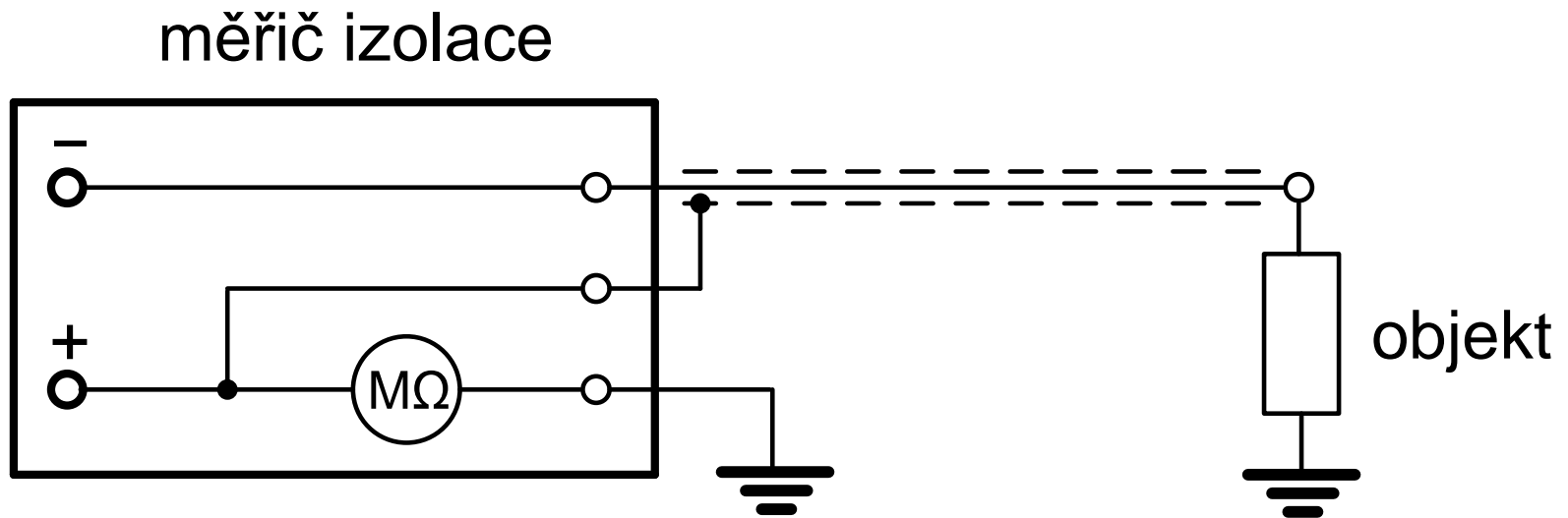


Z časového průběhu absorpčního proudu jsou odvozeny veličiny vypovídající o stavu izolace.

Izolační odpor a polarizační index

Měřič izolace do 5 kV s miliampérmetrem

- před měřením konce vinutí všech fází na 30 minut uzemnit
- vliv proudů procházejících parazitními impedancemi přívodu je třeba eliminovat



Zdánlivý izolační odpor R_{iz}

$$R_{iz60''} = \frac{U_m}{I_{n(1')}} \quad (M\Omega; V, \mu A)$$

$$(R_{iz15}, R_{iz60}, R_{iz600})$$

Turbogenerátor (reaktoplastická izolace): $R_{iz600} \geq 800M\Omega$

Skutečný izolační odpor R_{is}

$$R_{is} = \frac{U_m}{I_s} \quad (M\Omega; V, \mu A), \text{ kde } I_s = I_{n(20)} - I_{v(20)}$$

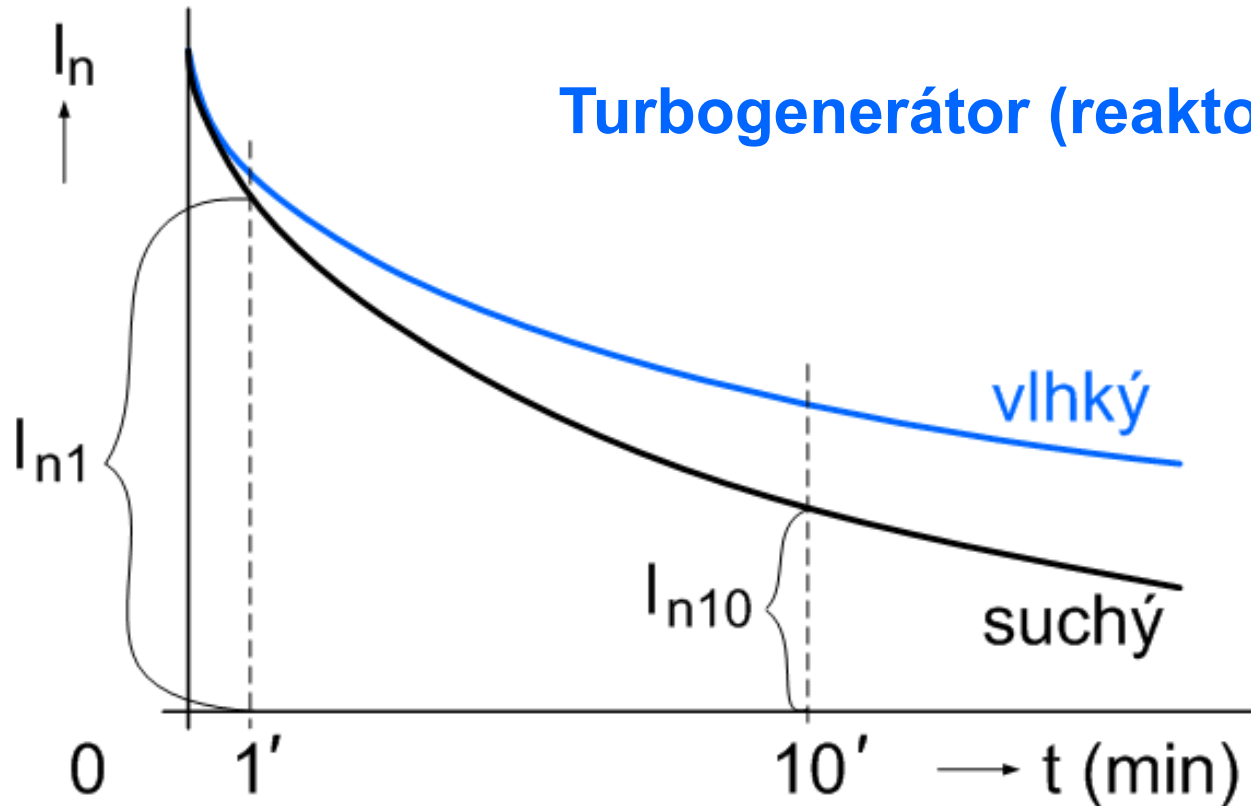
Odpovídá jen svodovému proudu bez polarizační složky.

Polarizační index

$$p_{i1} = \frac{R_{iz60}}{R_{iz15}}$$

$$p_{i10} = \frac{R_{iz600}}{R_{iz60}} = \frac{I_{n1}}{I_{n10}}$$

Turbogenerátor (reaktoplastická izolace):



p_{i1} : do 1,5
 1,5 - 2,5
 2,5 - 4,0
 nad 4,0

p_{i10} suchý > p_{i10} vlhký

Měření ztrátového činitele a kapacity

- Z Amperova zákona je proudová hustota:

$$-J = \sigma E + \frac{\partial D}{\partial t}$$

- Pro harmonický ustálený stav

$$-E = E_m e^{-i\omega t}$$

$$-\frac{\partial E}{\partial t} = i\omega E_m e^{-i\omega t} = i\omega E$$

- Proudovou hustotu lze pak vyjádřit jako:

$$I = (\sigma + i\omega\varepsilon)E$$

Měření ztrátového činitele a kapacity

- Permittivita může být vyjádřena pomocí komplexního čísla jako:

$$\varepsilon^* = \varepsilon_r - i \frac{\sigma}{\omega \varepsilon_0} = \varepsilon' - i\varepsilon''$$

- Pak proudovou hustotu můžeme vzjádřit jako:

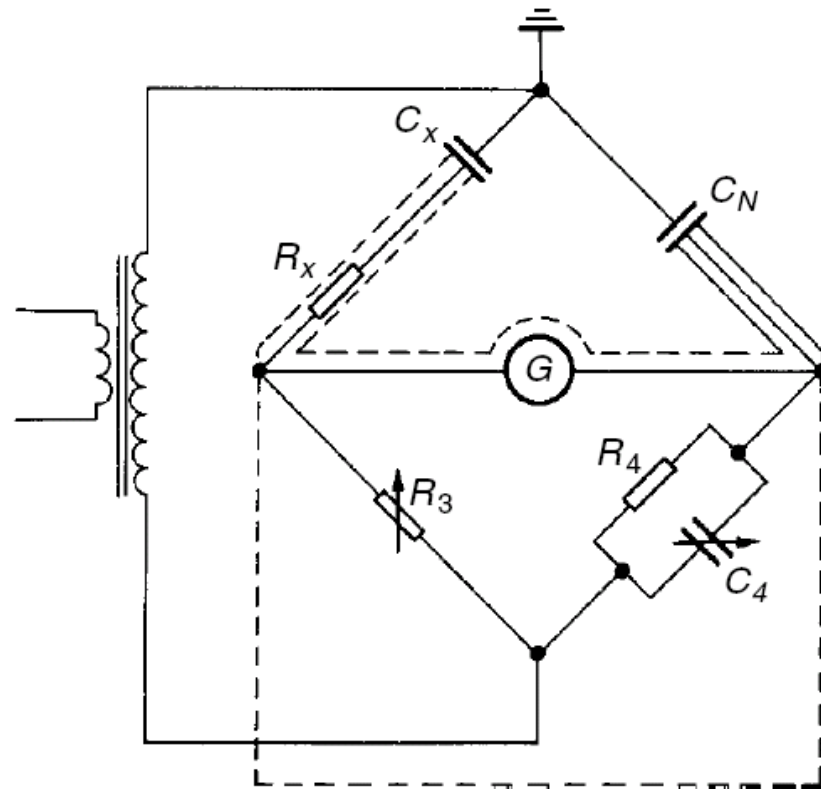
$$J = i\omega \varepsilon_0 \varepsilon^*$$

- Ztrátový činitel je pak

..

Scheringův mŕstek

- $Z_1 I_1 = Z_2 I_2$
- $Z_3 I_1 = Z_4 I_2$
- $\frac{Z_1}{Z_3} = \frac{Z_2}{Z_4}$
- $Z_1 = R_x + \frac{1}{j\omega C}$
- $Z_2 = \frac{1}{j\omega C_N}$
- $Z_3 = R_3$
- $Z_4 = \frac{R_4 \left(\frac{1}{j\omega C_4} \right)}{R_4 + \frac{1}{j\omega C_4}}$



Scheringův můstek

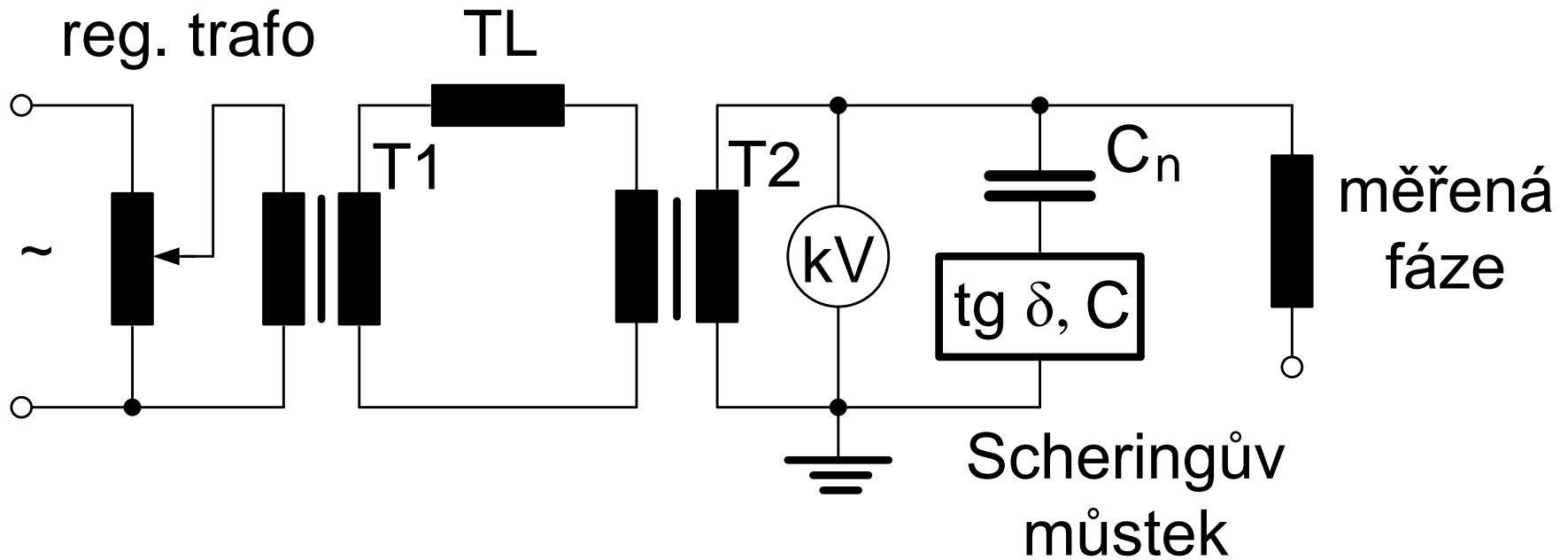
- Po úpravách a separaci reálné a imafinární části v předchozím výrazu můžeme pro měřenou kapacitu C_x a $\tan \delta$ psát:

$$C_x = C_N \frac{R_4}{R_3}$$

$$R_x = R_3 \frac{C_4}{C_N}$$

$$\operatorname{tg} \delta = \omega C_x R_x = \omega C_4 R_4$$

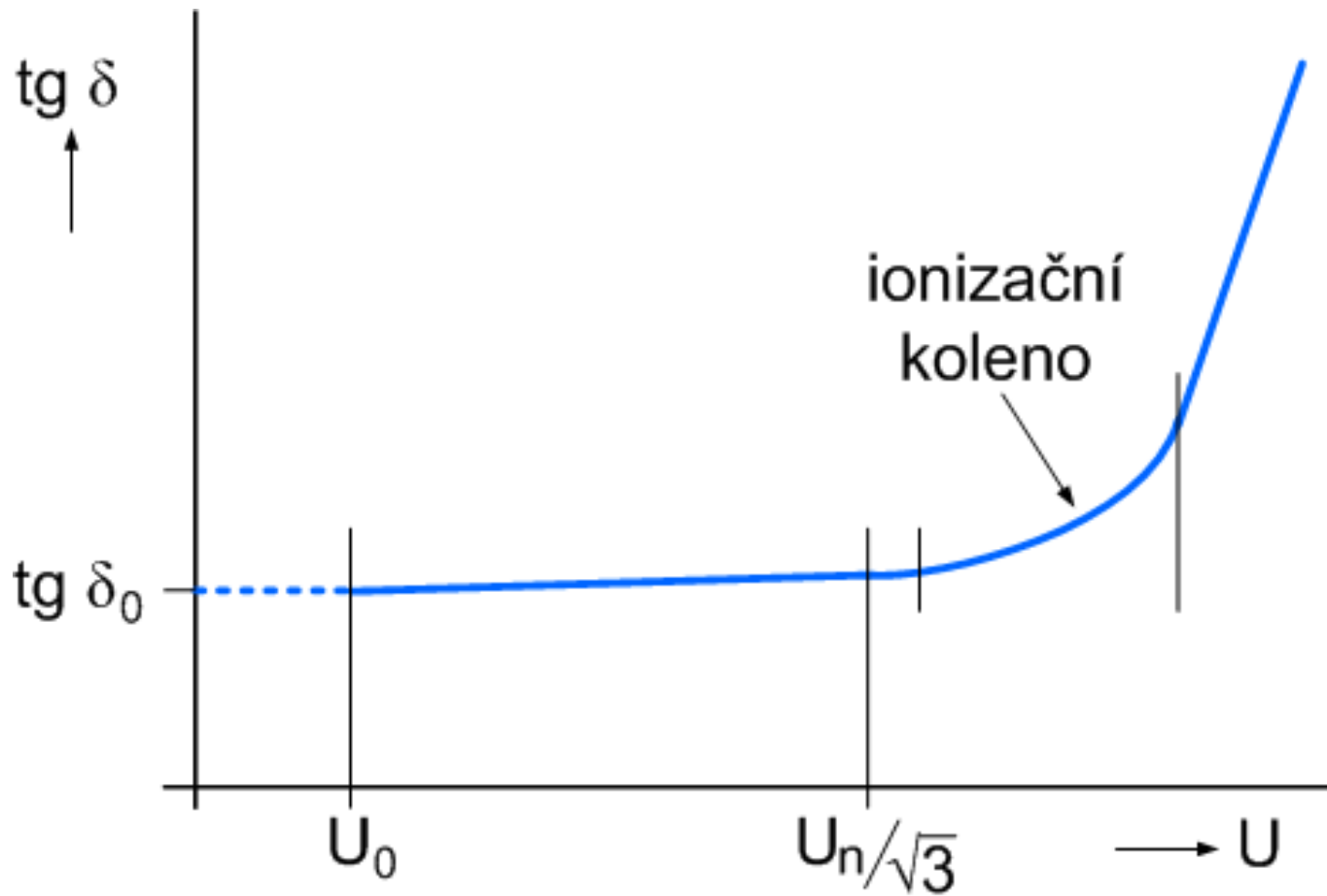
Ztrátový činitel a kapacita



Proměřuje se napěťová závislost ztrátového činitele a kapacity v intervalu $(0,2 - 1,0) U_N$ u všech fází stroje. Napětí se zvyšuje po $0,2 U_N$.

Kapacita se udává v μF a ztrátový činitel je bezrozměrné číslo.

Závislost ztrátového činitele na napětí



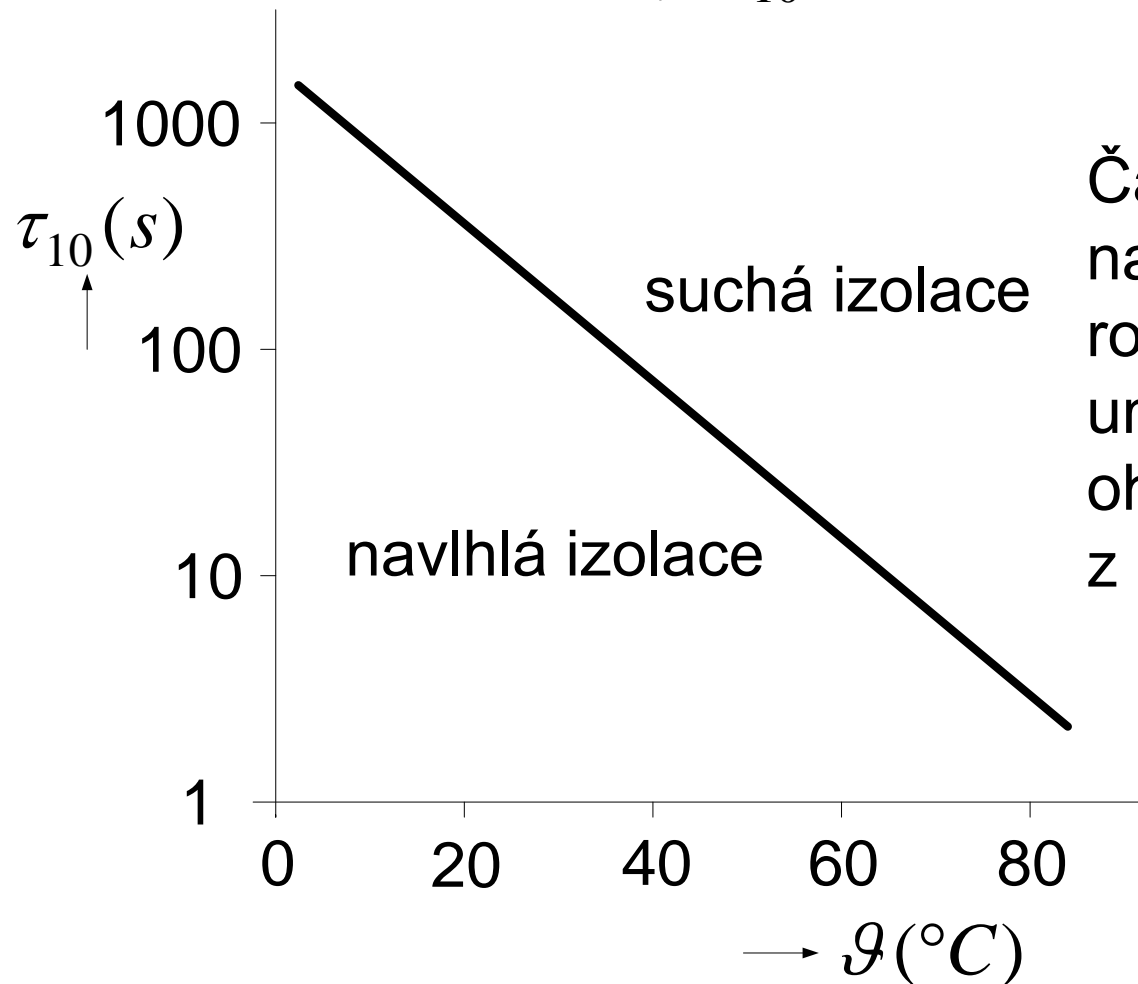
Turbogenerátor (reaktoplastická izolace):

$$\text{tg } \delta_{U_n} \leq 0,02, \quad \text{tg } \delta_{0,2U_n} \leq 0,01$$

Časová konstanta izolace

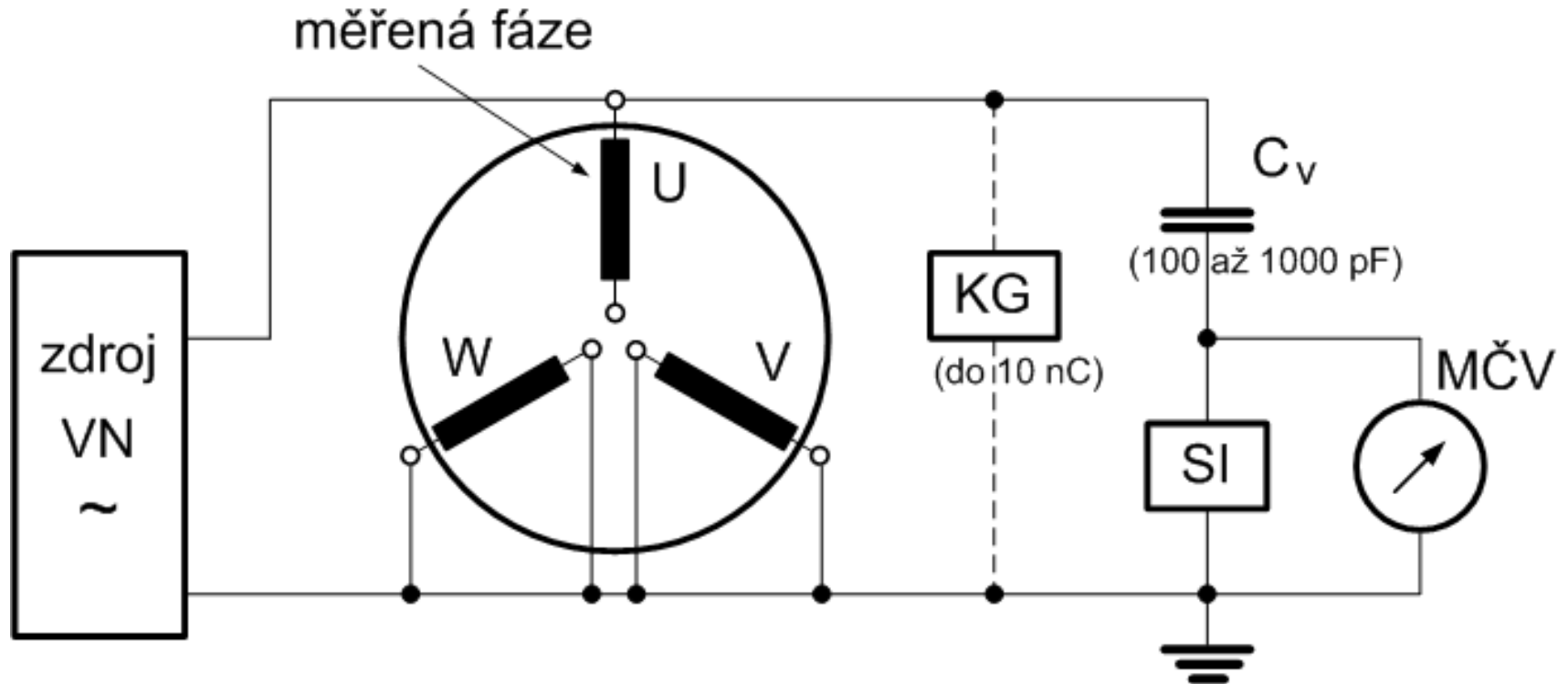
$$\tau_{10} = R_{iz600} \cdot C_{50} \quad (s; M\Omega, \mu F)$$

Minimál. hodnoty $\tau_{10} = f(\vartheta)$



Časová konstanta nezávisí na geometrických rozměrech izolace, a proto umožňuje srovnání bez ohledu na U, P a typ stroje z hlediska **navlhnutí**.

Částečné výboje v izolaci statorového vinutí



Turbogenerátor (reaktoplastická izolace):

$Q \leq 10.000 \text{ pC} \rightarrow$ vyhovuje

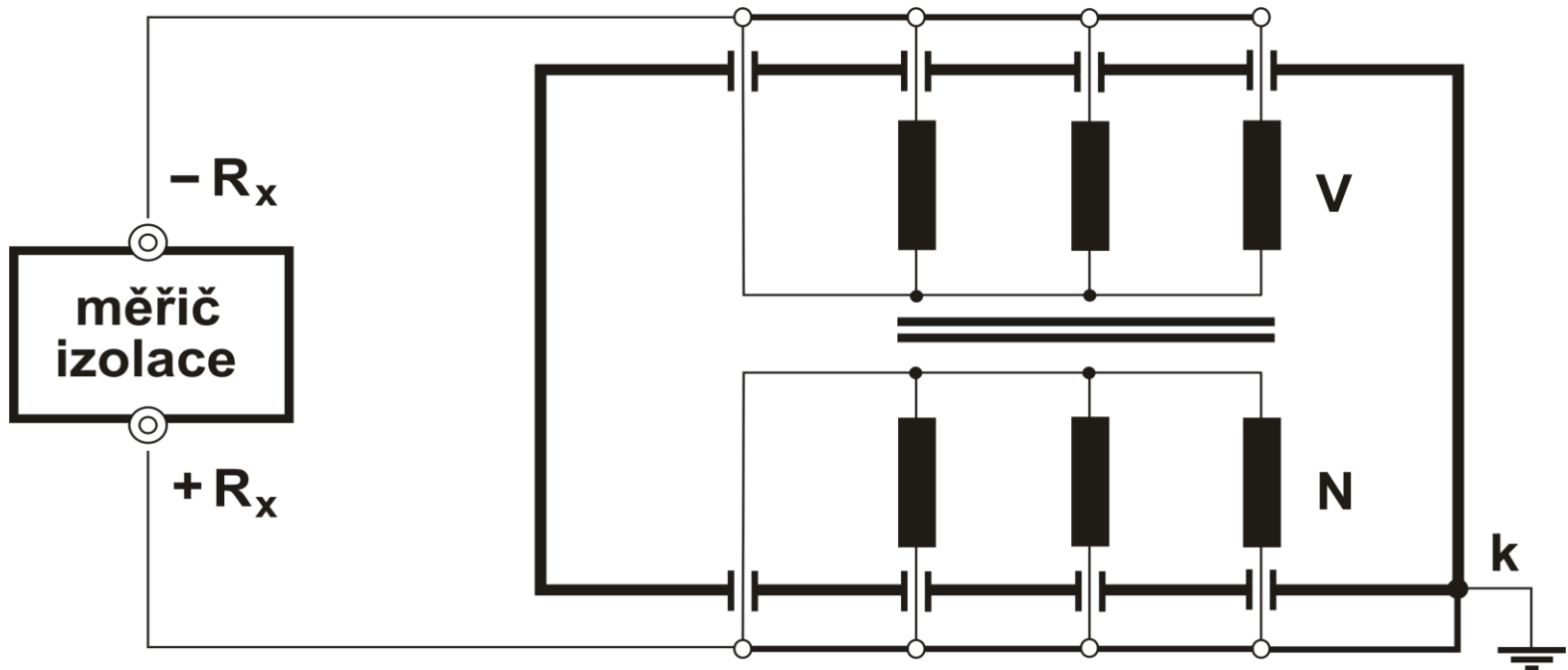
$10.000 \text{ pC} < Q \leq 30.000 \text{ pC} \rightarrow$ vyhovuje (1/2 interval)

$30.000 \text{ pC} < Q \leq 60.000 \text{ pC} \rightarrow$ vyhovuje (měř. po 1 roce)

$Q > 60.000 \text{ pC} \rightarrow$ nevyhovuje

b) Diagnostika výkonových transformátorů

Zdánlivý izolační odpor R_{iz}



Měření R_{iz} u dvouvinutového stroje v zapojení V:(N + k)

Měření v zapojeních:

2 vinutí - V:(N+k), N:(V+k) a nepovinné (V+N):k

3 vinutí - V:(S+N+k), S:(V+N+k), N:(V+S+k) a nepovinné (V+S+N):k, (V+S):(N+k)

$$R_{iz} \text{ (M}\Omega\text{)} > U_n \text{ (kV)} \rightarrow \text{pro trafo 220 a 400 kV}$$

Měření odporu vinutí

Používá se pro přesné stanovení teploty vinutí transformátoru. Odpor se měří Ohmovou metodou (pro měření malých odporů).

Teplota vinutí se pak vypočte:

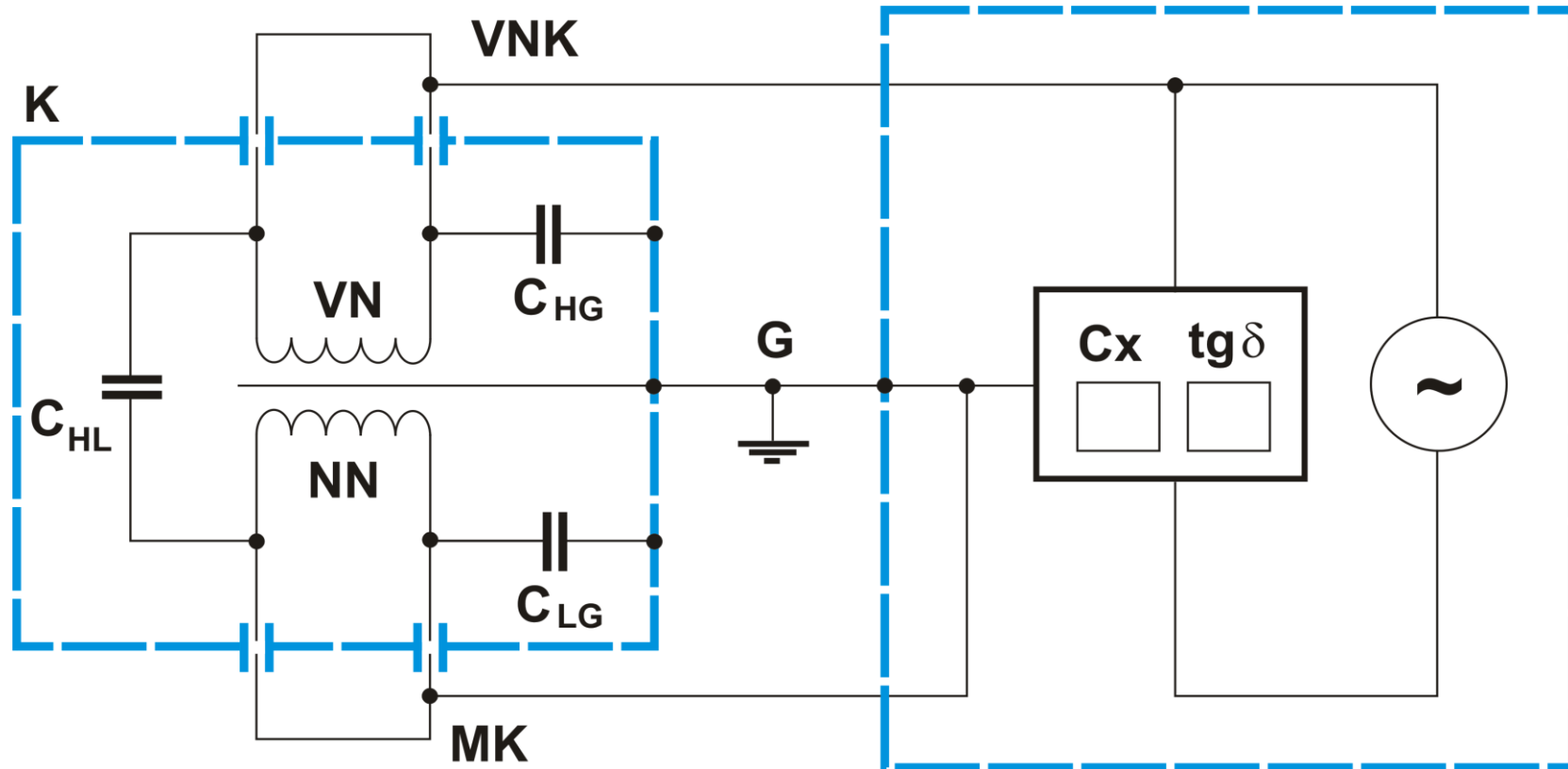
$$t_x = \frac{R_x}{R_0} (t_0 + 235) - 235 \quad (^\circ\text{C}; \Omega, \Omega, ^\circ\text{C})$$

t_x - neznámá teplota

R_x - odpor vinutí změřený při neznámé teplotě

R_0 , t_0 - odpor vinutí změřený při známé teplotě (údaj výrobce)

Ztrátový činitel a kapacita



Mezní hodnoty $\text{tg } \delta$ pro stroje v provozu:

0,08

do 70 kV ...

110 kV ... 0,04

220, 400 kV ... 0,03

Hodnoty kapacity nejsou normovány.

Zjišťování veličiny C_2/C_{50}

Metoda pro zjišťování míry navlhnutí izolace transformátorů plněných olejem.

C_2 → kapacita měřená při frekvenci 2 Hz

C_{50} → kapacita měřená při frekvenci 50 Hz

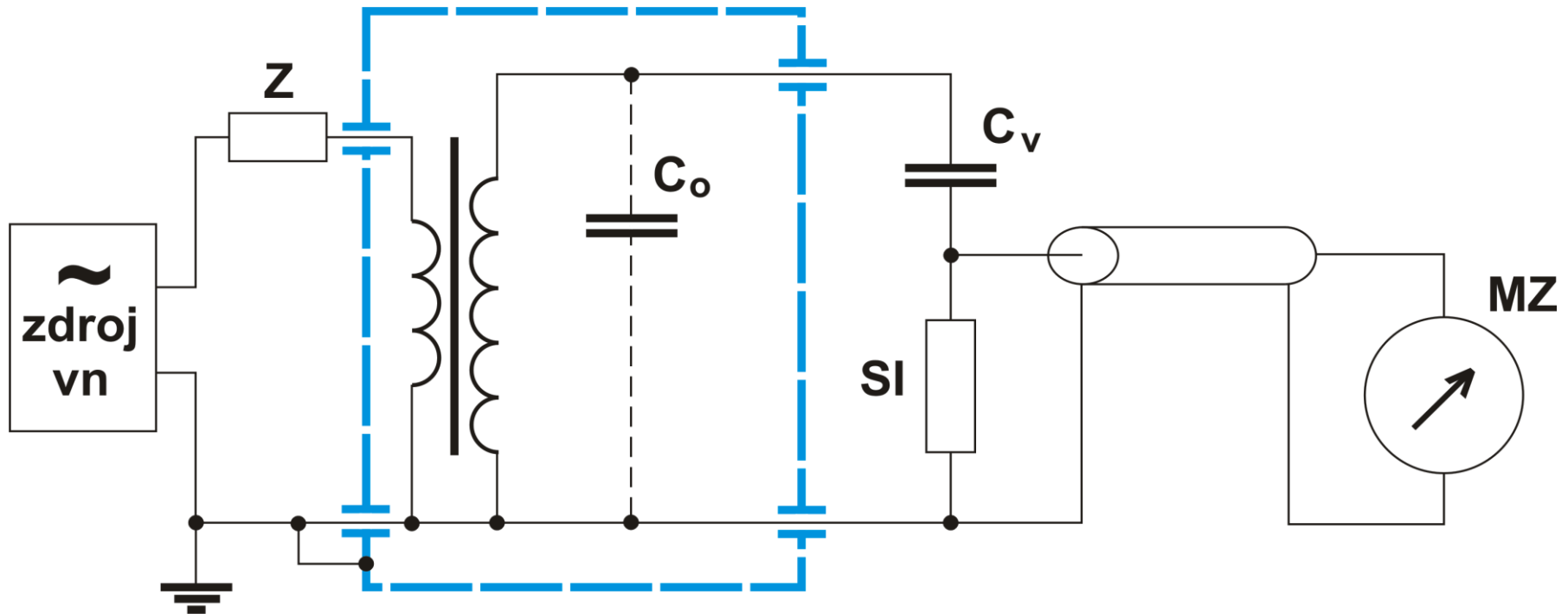
Metoda využívá závislosti relativní permitivity na frekvenci
(souvisí s polarizací dielektrik)

Kapacita suché izolace je v závislosti na frekvenci téměř konstantní.

U vlhké izolace se kapacita zmenšuje s rostoucí frekvencí.

Mezní hodnota poměru C_2/C_{50} při teplotě 30 °C se udává 1,3.

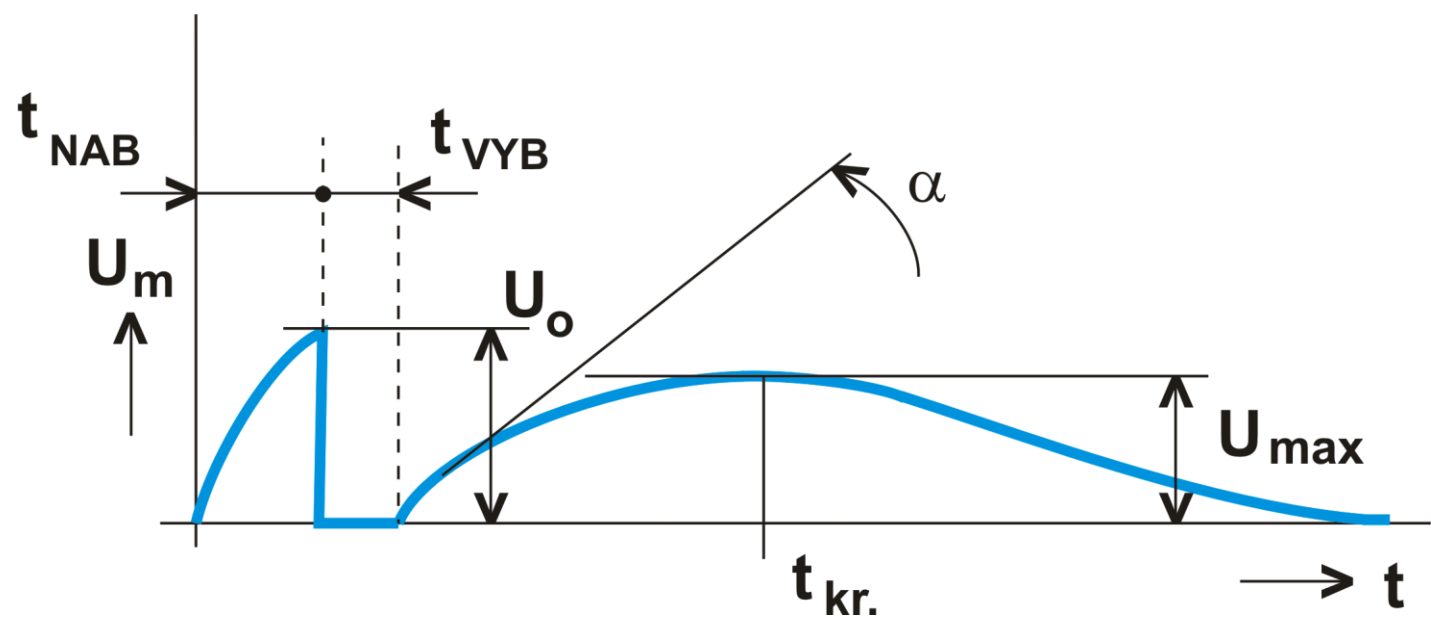
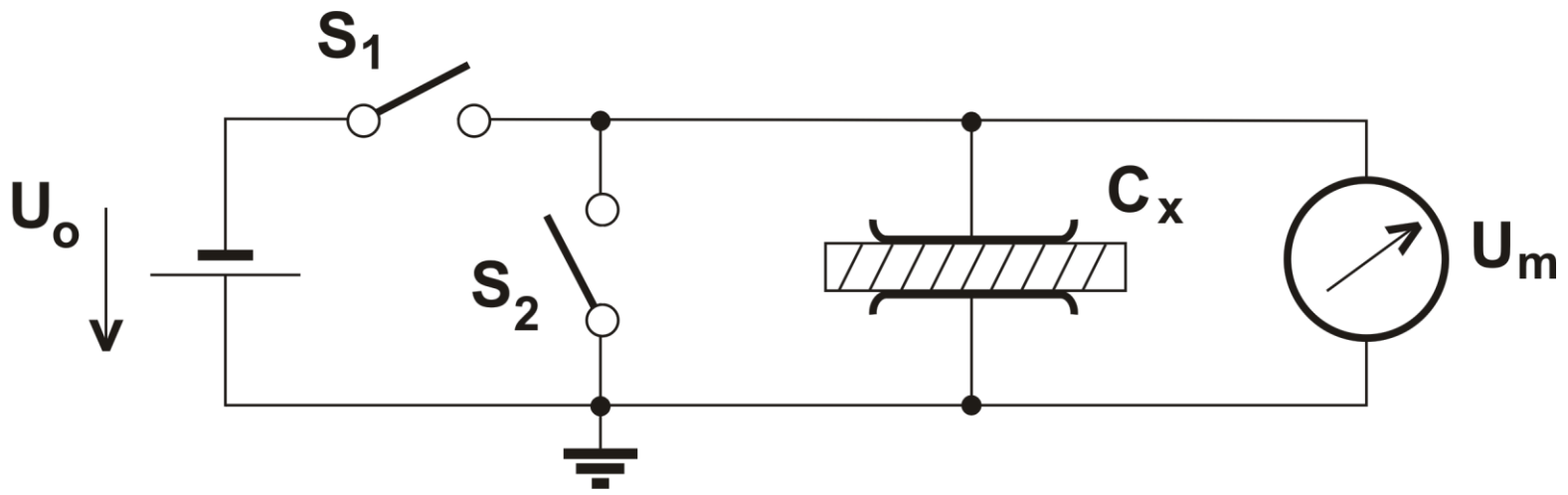
Měření částečných výbojů



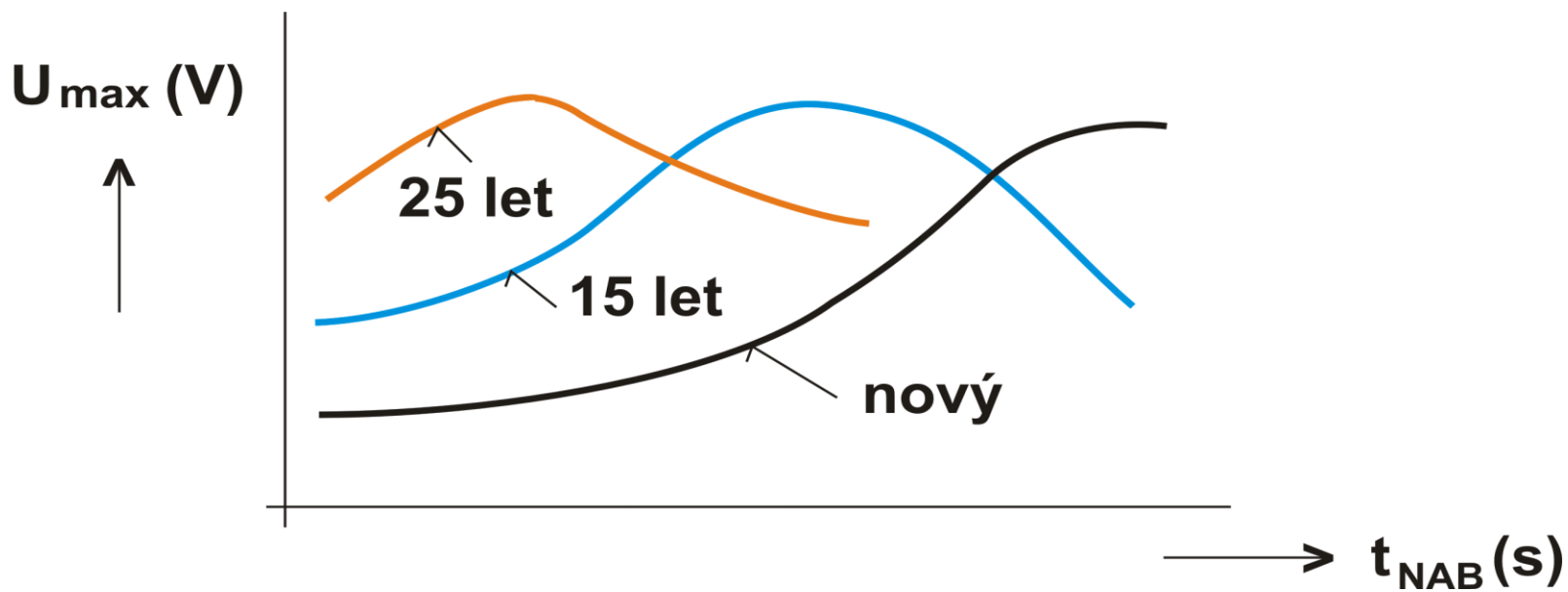
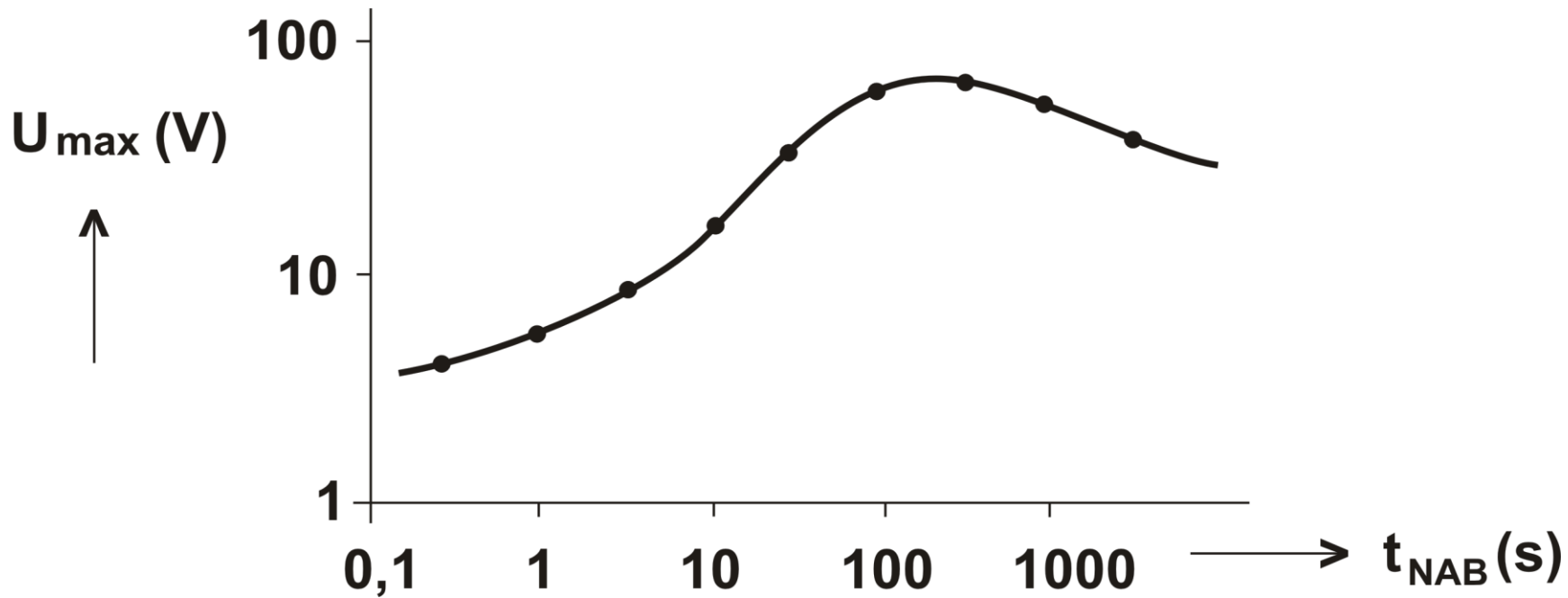
Měřené veličiny:

- zdánlivý náboj q (pC)
- celkový náboj Q (pC)
- počáteční napětí U_i (V)
- zhášecí napětí U_e (V)

Metoda zotaveného napětí



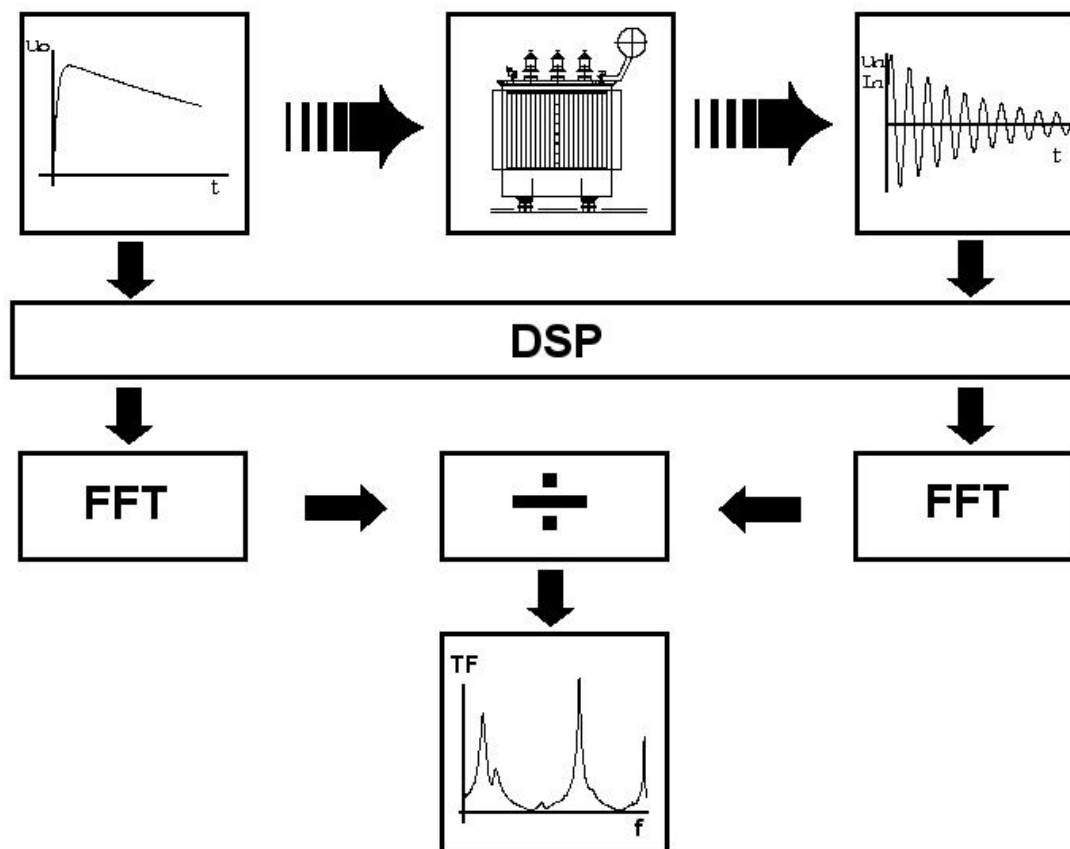
$U_0 = 2 \text{ kV}_{ss}; t_{nab}/t_{vyb} = 2; t_{nab} = 0,02 \text{ až } 10000 \text{ s}$



Metody pro detekci poruch vinutí transformátorů

Základem je měření přenosové funkce stroje a porovnání změřeného průběhu před a po poruše.

Metoda nízkonapěťových impulsů



Metoda frekvenčních charakteristik (SFRA)

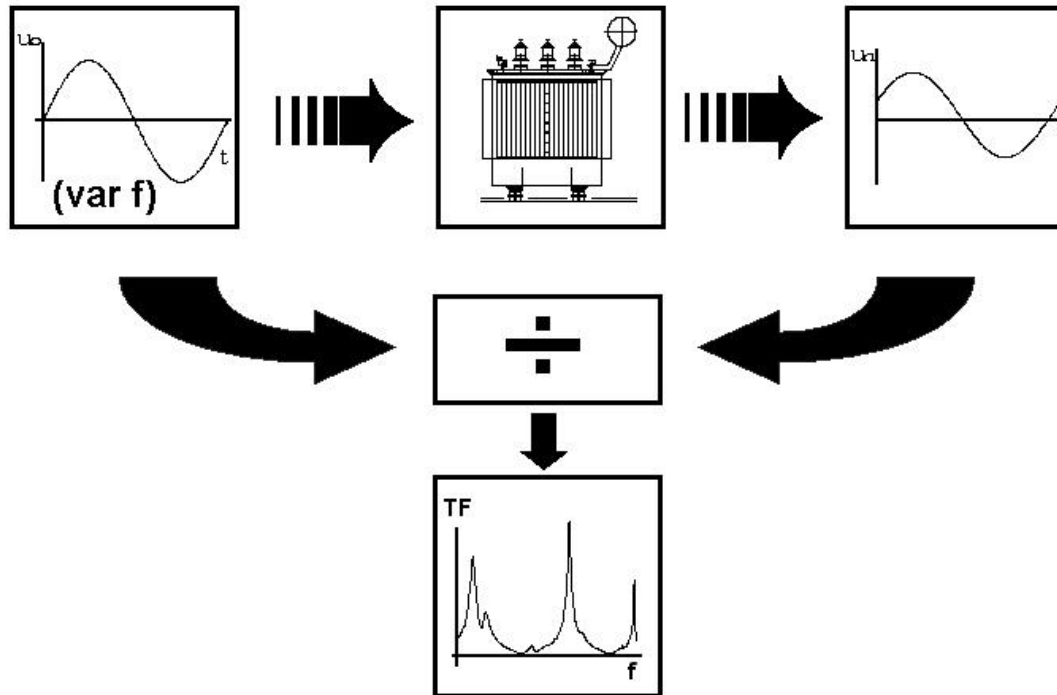
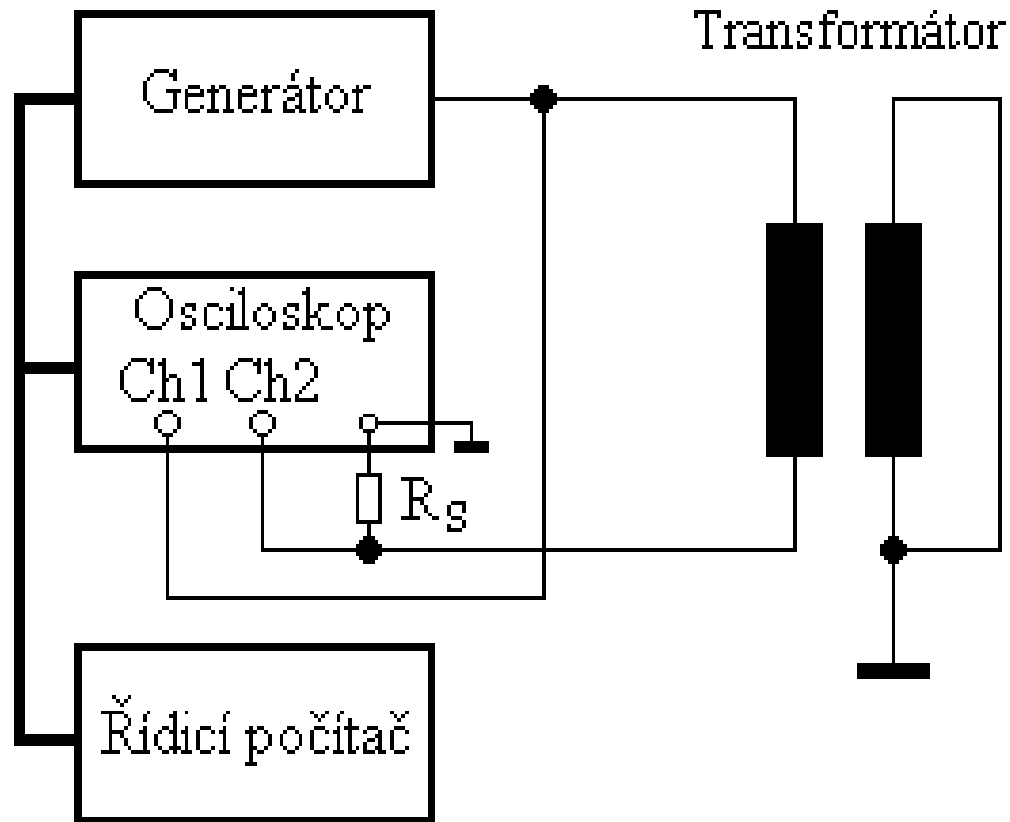
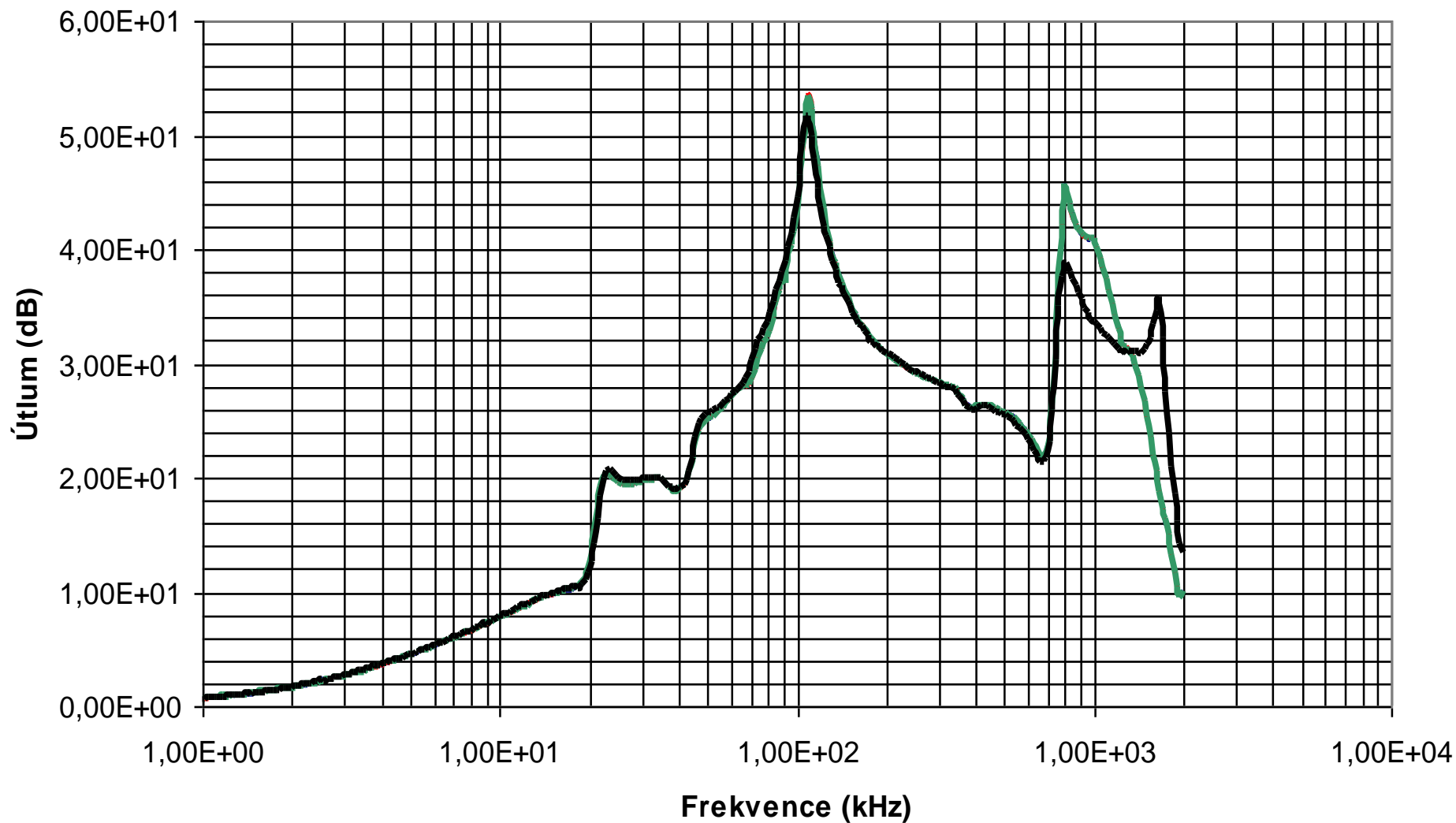


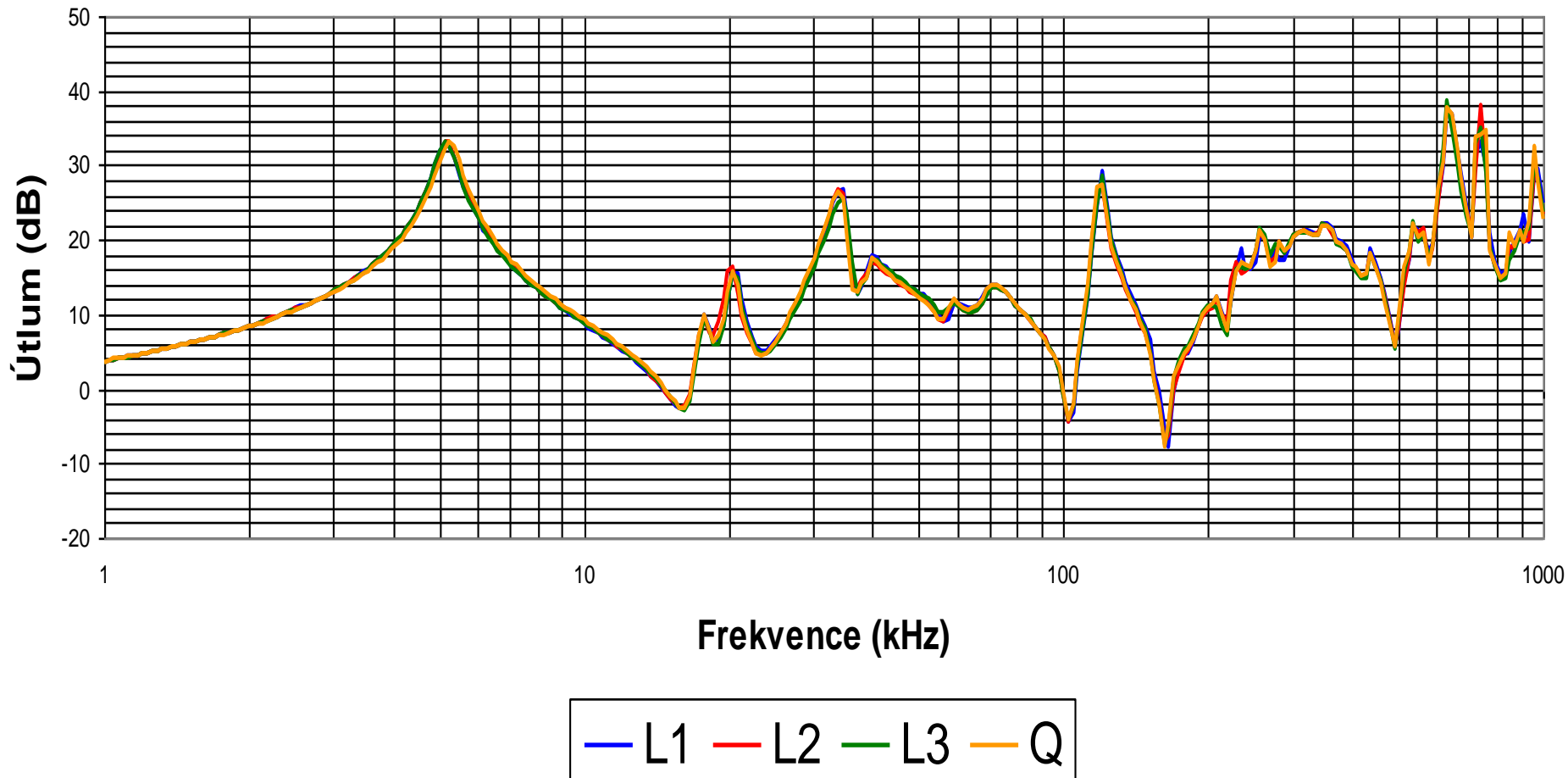
Schéma zapojení pro měření metodou SFRA



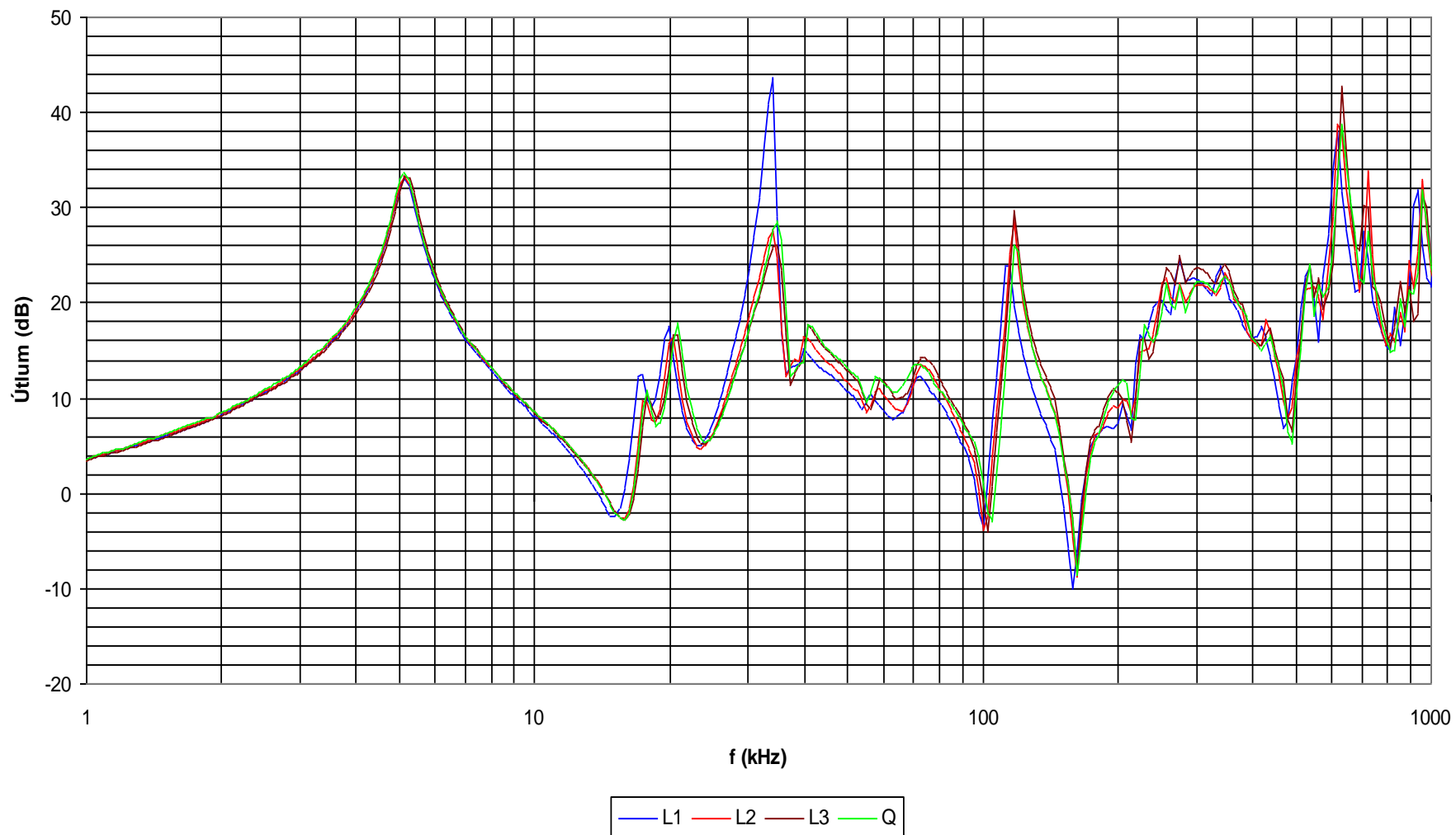
Příklad frekvenční charakteristiky při axiálním posunu vinutí



POROVNÁNÍ FREKVENČNÍCH CHARAKTERISTIK VŠECH JEDNOTEK TRANSFORMÁTORU T 203 V ROZVODNĚ SOKOLNICE VČETNĚ REZERVY



Obr. 6: Porovnání FCH všech jednotek transformátoru T 202 v rozvodně Sokolnice



c) Zkoušky olejů

Na stárnutí olejů má vliv:

teplota, zvýšený obsah vody a kyslíku, elektrické pole

Stárnutí olejů způsobuje:

polymerizaci, vznik kyselin a vznik kalů

U minerálních izolačních olejů se sledují tyto vlastnosti:

1. Izolační vlastnosti

- stanovení obsahu vody (Q_v)
- průrazné napětí (U_p)
- obsah plynů rozpuštěných v oleji (Q_p)

2. Jakostní parametry

- číslo kyselosti (ČK)
- ztrátový činitel ($\text{tg } \delta$)
- relativní mezipovrchové napětí (σ)
- obsah antioxidantu (Q_i)

Napět'ové zkoušky

Průrazné napětí nových izolačních soustav - 4 až $7 \cdot U_N$

Zkušební napětí se pak volí 2 až $3 \cdot U_N$

Pro potřeby koordinace izolace a napět'ových zkoušek se zavádí:

Třídy nejvyšších napětí

A . . . 1 až 52 kV

B . . . 52 až 300 kV

C . . . nad 300 kV

Izolace se dimenzuje a zkouší s ohledem na:

a) Provozní napětí (max. U_m)

b) Dočasná přepětí (max. $1,5 U_m$)

c) Spínací přepětí - do 300 kV → zkoušky 50 Hz
- nad 300 kV → spínací impuls

d) Atmosférická přepětí - atmosférický impuls

Druhy napět'ových zkoušek

1. Krátkodobým střídavým napětím

- přiloženým střídavým napětím 50 Hz (minutová)
- indukovaným střídavým napětím (při zvýšené f)

2. Dlouhodobým střídavým napětím (viz normy)

3. Spínacím impulsem

4. Atmosférickým impulsem

zkoušky konvenčním
výdržným napětím, či
zkoušky pro zjištění U_{50}